

## ➤上次课内容回顾：

### § 3.4 光在晶体中的波面

(正、负) 晶体中o光和e的波面特点：o光为球面，e光为椭球面

### § 3.5 光在晶体中的传播方向

(正、负) 单轴晶体内o光和e的传播方向：惠更斯作图法

- 光轴垂直晶体表面并平行于入射面
- 光轴平行晶体表面并垂直于入射面 (此时e光遵从折射定律)
- 光轴平行晶体表面并平行于入射面

### § 3.6 偏振器件

尼科耳棱镜：获得一束振动方向固定的线偏振光。

沃拉斯顿棱镜：产生两束彼此分开的、振动相互垂直的线偏振光。

波片      相位差： $\Delta\varphi = \frac{2\pi}{\lambda}(n_o - n_e)d$        $\frac{1}{4}$ 波片    $\frac{1}{2}$ 波片   全波片

## ➤ 本次课内容提要：

### § 3.7 椭圆偏振光和圆偏振光（基本掌握）

3.7.1 圆和椭圆偏振光的描述（了解）

3.7.2 自然光改造成椭圆偏振光或圆偏振光（掌握）

### § 3.8 偏振态的实验检验（熟练掌握）

3.8.1 线偏振光的检验

3.8.2 自然光和圆偏振光的检验

3.8.3 部分偏振光和椭圆偏振光的检验

### § 3.9 偏振光的干涉（熟练掌握）

3.9.1 偏振光干涉典型的实验装置

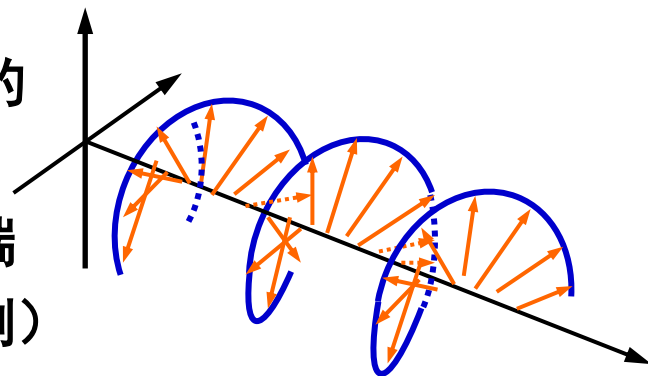
3.9.2 线偏振光干涉的强度分布

### § 3.10 \*旋光效应和磁光效应（了解）

## § 3.7 椭圆偏振光和圆偏振光

**椭圆偏振光：**在光的传播方向上，电矢量的端点在波面内描绘出一个椭圆

**圆偏振光：**在光的传播方向上，电矢量的端点在波面内描绘出一个圆（椭圆偏振光的特例）



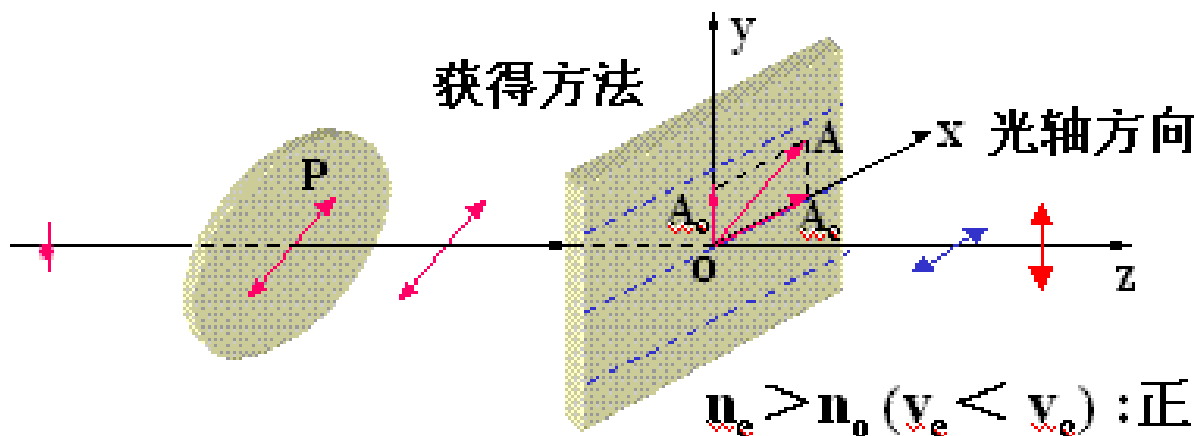
### 一、圆和椭圆偏振光的描述

频率相同

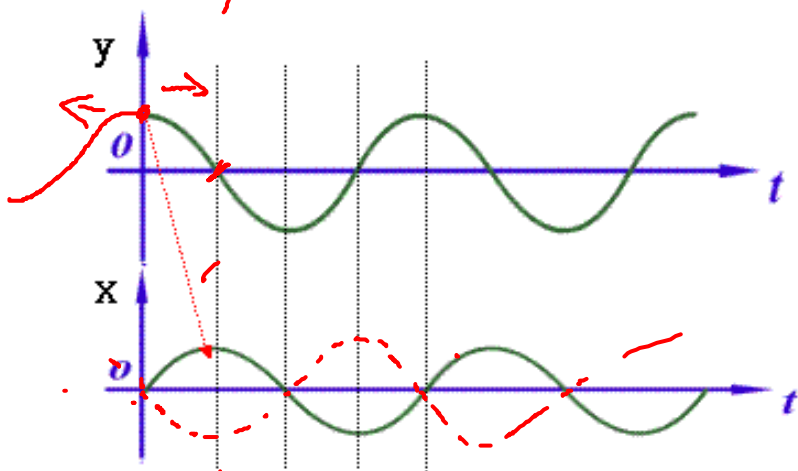
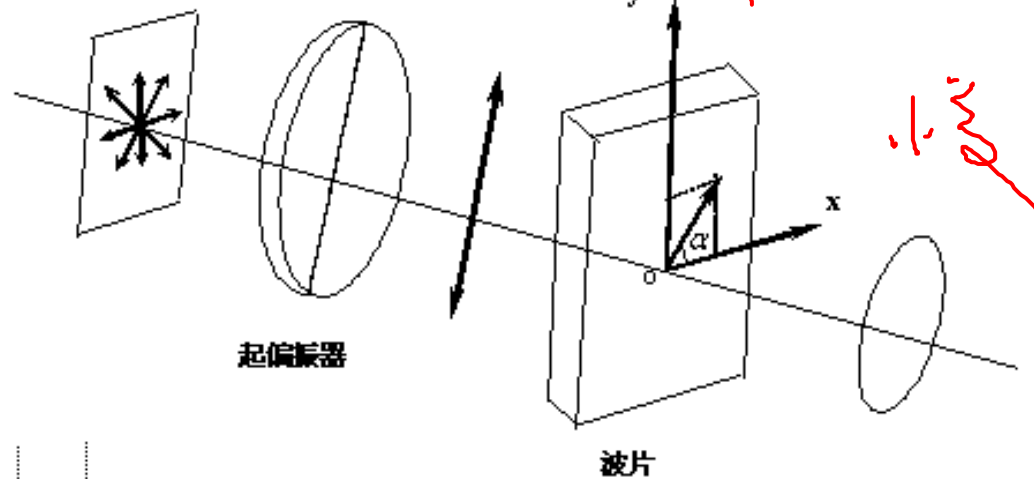
位相差恒定

振动方向相互垂直

沿z方向传播的两线偏振光的叠加



$n_e > n_o$  ( $v_e < v_o$ ) : 正晶体



$$E_y = A_y \cos \omega t \quad \text{超前}$$

$$E_x = A_x \cos(\omega t - \Delta\varphi)$$

$$\Delta\varphi = \pi/2$$

顺时针

1/4 波片 y 为快轴

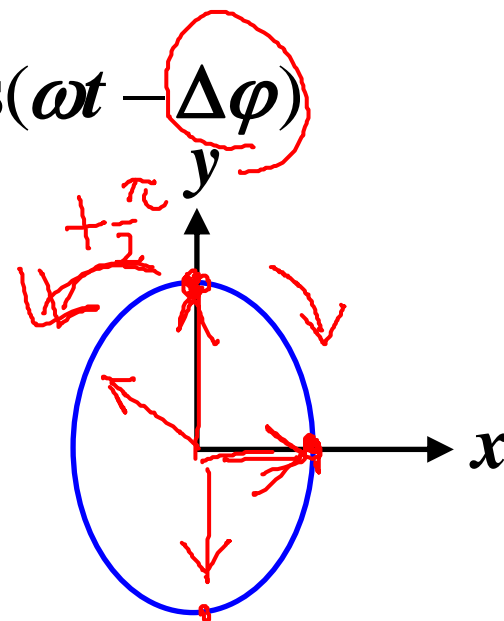
$$\Delta\varphi = -\pi/2 \text{ (or } 3\pi/2)$$

逆时针

1/4 波片 x 为快轴

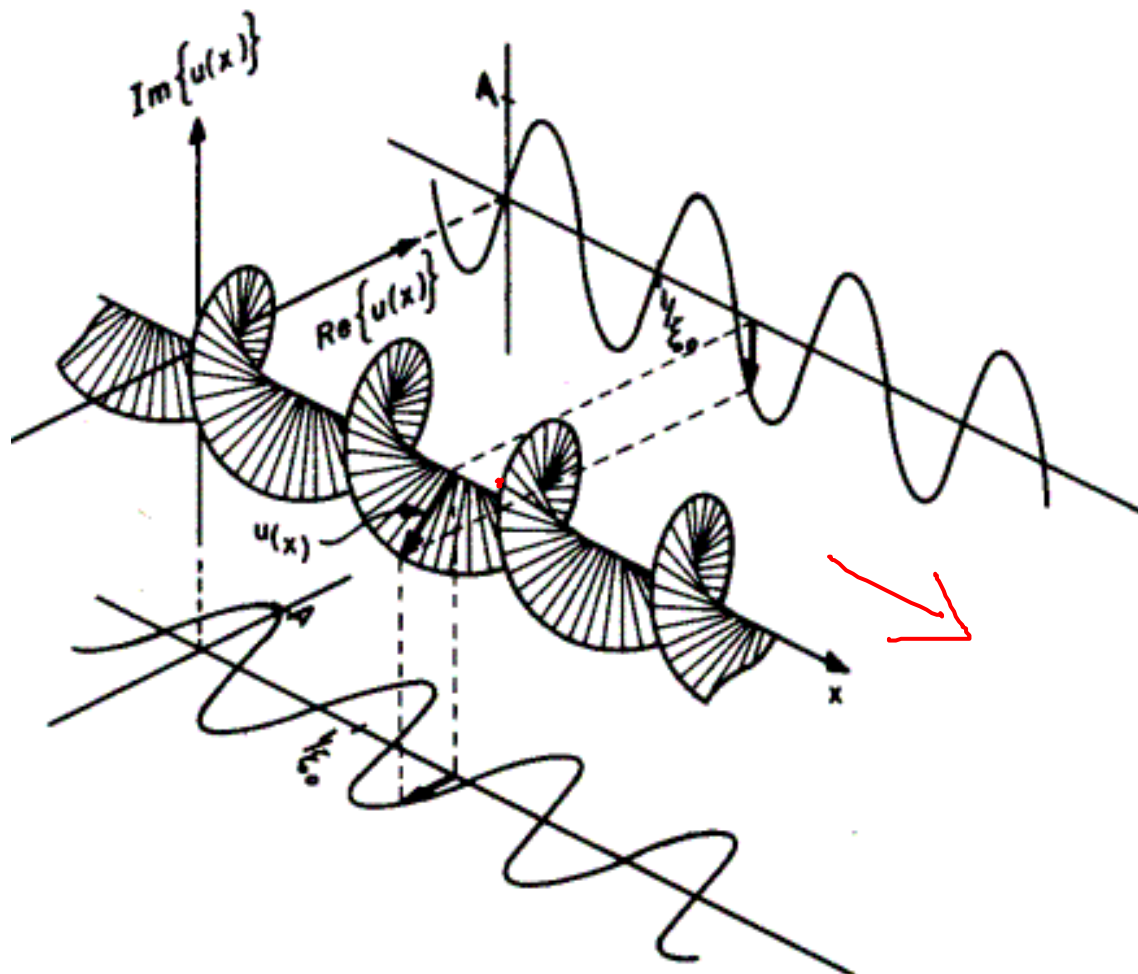
--右旋正椭圆偏振光

--左旋正椭圆偏振光

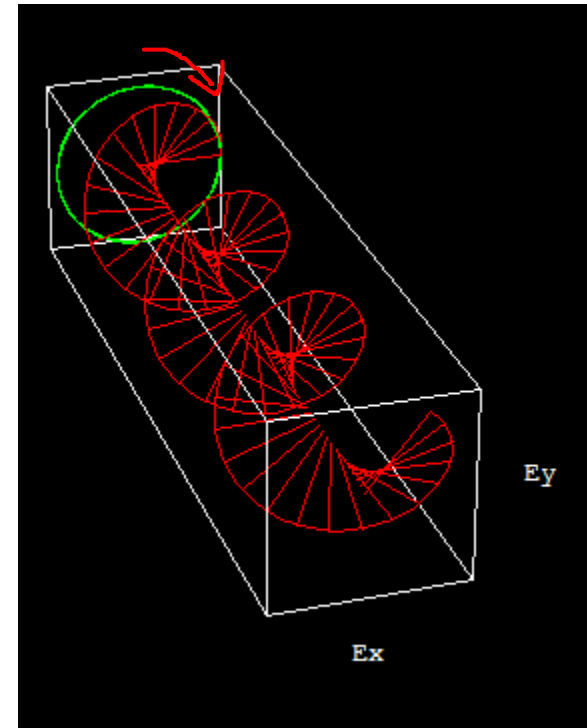


正椭圆偏振光

## 电矢量E作周期性的转动



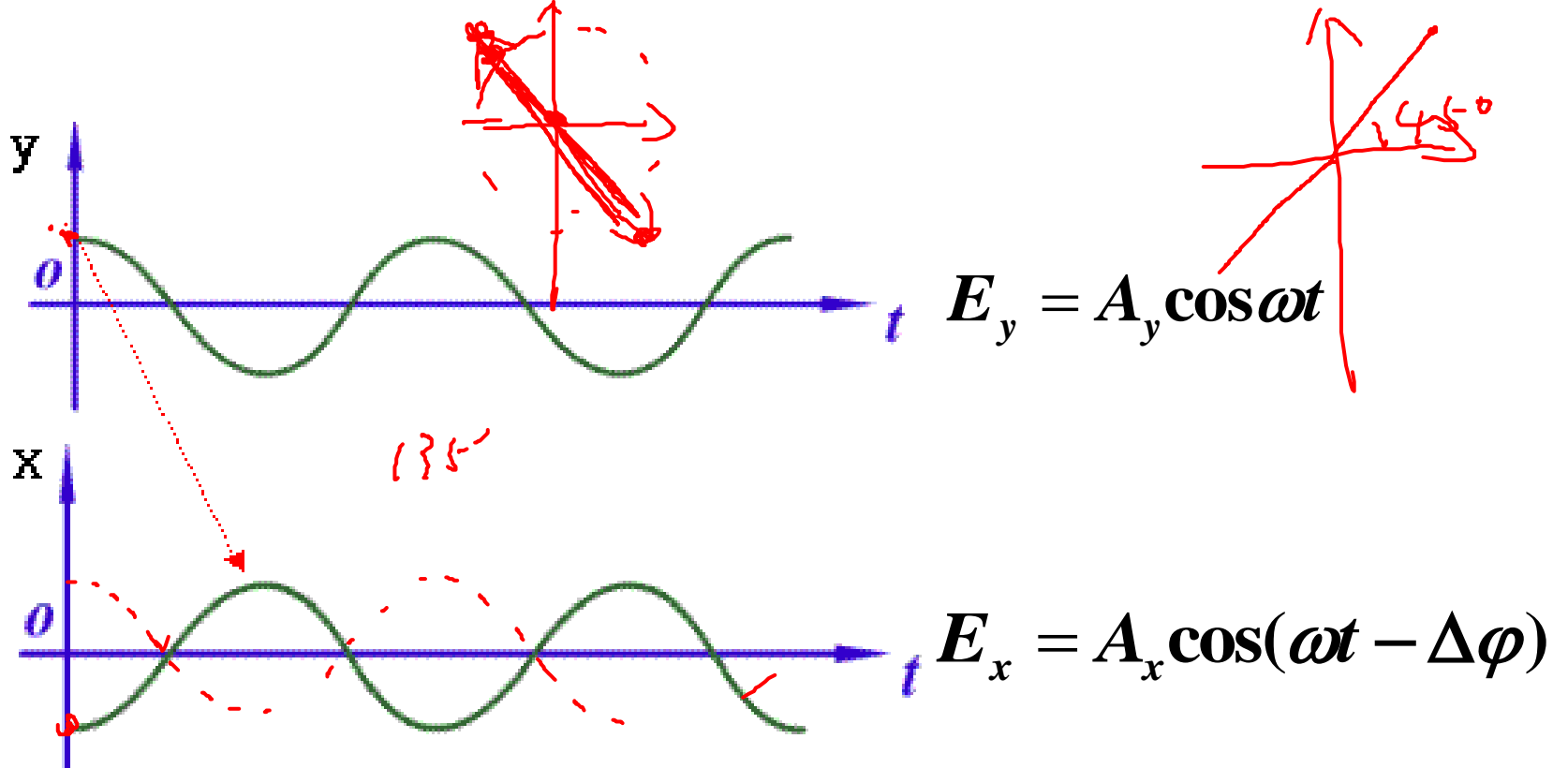
Three-dimensional depiction of  $A \exp\{j2\pi\xi_0x\}$ .



顺时针



The tip of the electrical field vector



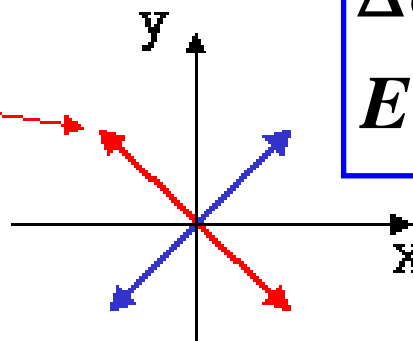
$$\Delta \varphi = \pi (\text{or } -\pi)$$

$$E_x = -E_y$$

——线偏振光

$$\Delta \varphi = 0$$

$$E_x = E_y$$



两线偏振光的波动方程为

$$E_x = A_x \cos(\omega t - kz) \quad E_y = A_y \cos(\omega t - kz + \Delta\varphi)$$

消除时间t和z项，得关于 $E_x$ 、 $E_y$ 的方程（电矢量E的矢端轨迹方程）

$$\left(\frac{E_x}{A_x}\right)^2 + \left(\frac{E_y}{A_y}\right)^2 - \frac{2E_x E_y}{A_x A_y} \cos\Delta\varphi = \sin^2\Delta\varphi$$

$$\Delta\varphi = 0$$

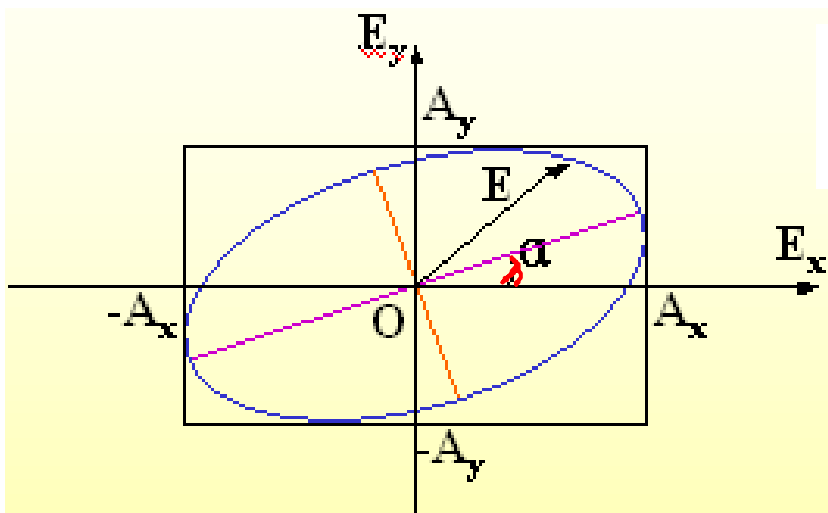
----椭圆的一般方程

结论：电矢量E的矢端轨迹为椭圆---椭圆偏振光  
合成波的波动方程为

$$\vec{E} = E_x \vec{i} + E_y \vec{j} = A_x \cos(\omega t - kz) \vec{i} + A_y \cos(\omega t - kz + \Delta\varphi) \vec{j}$$

电矢量E作周期性的转动，与 $E_x$ 和 $E_y$ 有相同的周期  $\omega$

画出  $\left(\frac{E_x}{A_x}\right)^2 + \left(\frac{E_y}{A_y}\right)^2 - \frac{2E_x E_y}{A_x A_y} \cos \Delta \varphi = \sin^2 \Delta \varphi$



椭圆与边长为  $2A_x$ 、 $2A_y$  的矩形内切

$E_x$  在  $\pm A_x$  之间变化

$E_y$  在  $\pm A_y$  之间变化

椭圆主轴（长轴）与  $x$  夹角  $\alpha$

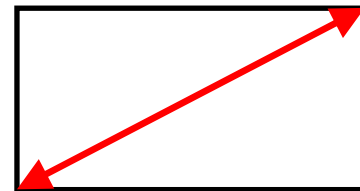
$$\tan 2\alpha = \frac{2A_x A_y}{A_x^2 - A_y^2} \cos \Delta \varphi$$



**讨论：**椭圆的形状与 $A_x$ 、 $A_y$ 和  $\Delta\varphi$  有关，分析几种特殊情形

$$\left(\frac{E_x}{A_x}\right)^2 + \left(\frac{E_y}{A_y}\right)^2 - \frac{2E_x E_y}{A_x A_y} \cos\Delta\varphi = \sin^2\Delta\varphi$$

**(1)  $\Delta\varphi = 0$  或  $\pm 2\pi$  的整数倍**

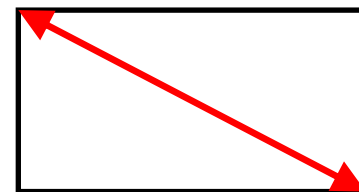


$$\left(\frac{E_x}{A_x}\right)^2 + \left(\frac{E_y}{A_y}\right)^2 - \frac{2E_x E_y}{A_x A_y} = 0 \longrightarrow \left(\frac{E_x}{A_x} - \frac{E_y}{A_y}\right)^2 = 0 \longrightarrow E_y = \frac{A_y}{A_x} E_x$$

**→ 直线方程（一、三象限的对角线）**

**(2)  $\Delta\varphi = \pm\pi$  的奇数倍 例如： $\Delta\varphi = \pi$**

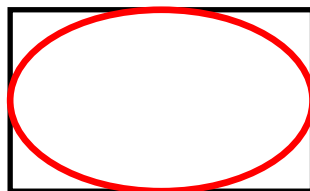
$$\left(\frac{E_x}{A_x}\right)^2 + \left(\frac{E_y}{A_y}\right)^2 + \frac{2E_x E_y}{A_x A_y} = 0 \longrightarrow E_y = -\frac{A_y}{A_x} E_x$$



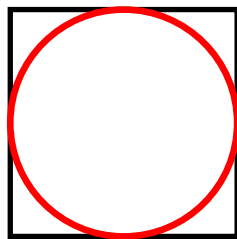
**→ 直线方程（二、四象限的对角线）**

(3)  $\Delta\varphi = \pm\pi/2$  及其奇数倍 例如:  $\Delta\varphi = \pi/2$

$$\left(\frac{E_x}{A_x}\right)^2 + \left(\frac{E_y}{A_y}\right)^2 = 1 \longrightarrow \text{标准椭圆方程, 主轴与坐标轴重合}$$



若  $A_x = A_y$ , 则电矢量E的矢端轨迹为圆---圆偏振光



**[例]** 线偏振光正入射到1/4波片上, 振动方向和光轴方向成  $45^\circ$  角, 则o光和e光等振幅  $A_x = A_y$ ,  $\Delta\phi = \pi/2$ , 出射光为圆偏振光。

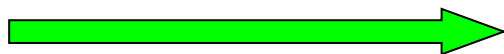
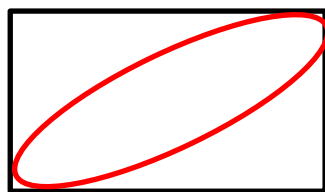
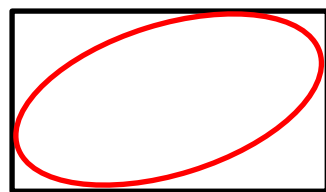
## (4) $\Delta\varphi$ 为其它值

$$\left(\frac{E_x}{A_x}\right)^2 + \left(\frac{E_y}{A_y}\right)^2 - \frac{2E_x E_y}{A_x A_y} \cos \Delta\varphi = \sin^2 \Delta\varphi$$

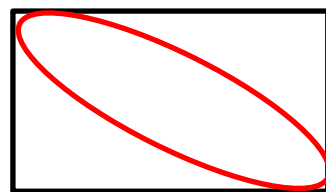
一般椭圆方程

$0 < \Delta\varphi < \pi/2$  和  
 $3\pi/2 < \Delta\varphi < 2\pi$  时

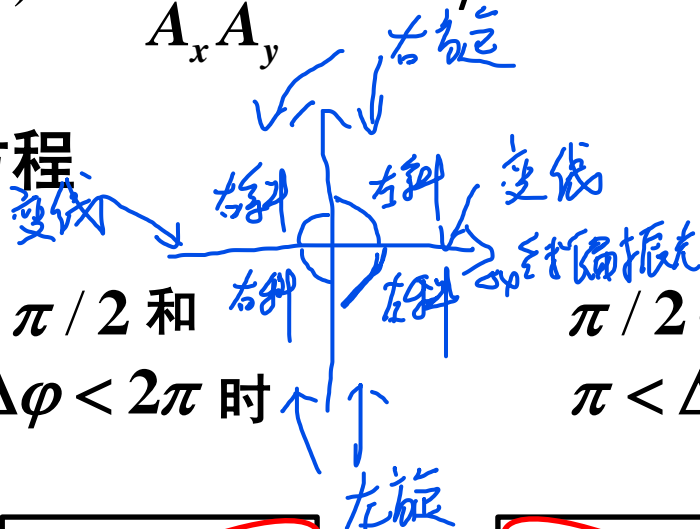
$\pi/2 < \Delta\varphi < \pi$  和  
 $\pi < \Delta\varphi < 3\pi/2$  时



$\Delta\varphi \rightarrow 0$  或  $2\pi$   
椭圆变扁直到线



$\Delta\varphi \rightarrow \pi$  时  
椭圆变扁直到线



## (5) 椭圆偏振光的旋向

合矢量E的旋向不同，可分为两类偏振光

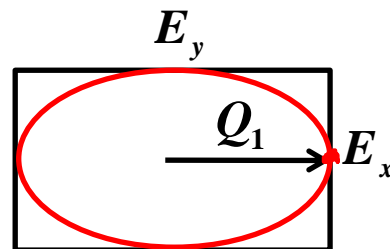
迎光传播方向观察：
 

- 合矢量顺时针旋转，右旋偏振光
- 合矢量逆时针旋转，左旋偏振光

由
 
$$\begin{cases} E_x = A_x \cos(\omega t - kz) \\ E_y = A_y \cos(\omega t - kz + \Delta\varphi) \end{cases}$$
 判据
 
$$\begin{cases} \sin\Delta\varphi > 0 & \text{右旋偏振光} \\ \sin\Delta\varphi < 0 & \text{左旋偏振光} \\ \sin\Delta\varphi = 0 & \text{线偏振光} \end{cases}$$

[例] 若  $\Delta\varphi = \pi/2$ ，则  $\sin\Delta\varphi > 0$

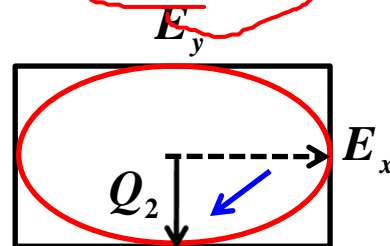
$$E_x = A_x \cos(\omega t - kz) \quad E_y = A_y \cos(\omega t - kz + \frac{\pi}{2})$$



设  $t=t_0$  时,  $\omega t_0 - kz = 0$ ，则  $E_x = A_x, E_y = 0$ ，合矢量如图

当  $t=t_0+T/4$  时,  $\omega t - kz = \omega t_0 + \omega T/4 - kz = \omega t_0 - kz + \pi/2$

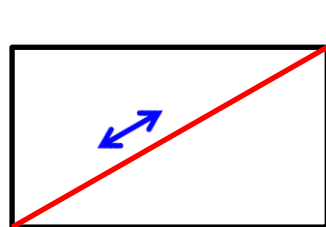
则  $E_x = 0, E_y = -A_y$ ，合矢量如图



合矢量从  $Q_1 \rightarrow Q_2$ ，顺时针旋转，为右旋偏振光

$\sin\Delta\varphi = 0$  线偏振光

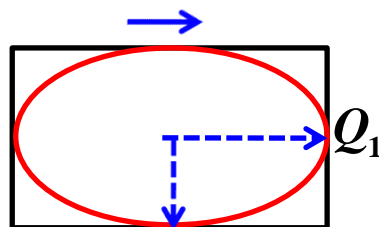
判据  $\begin{cases} \sin\Delta\varphi < 0 & \text{左旋偏振光} \\ \sin\Delta\varphi > 0 & \text{右旋偏振光} \end{cases}$



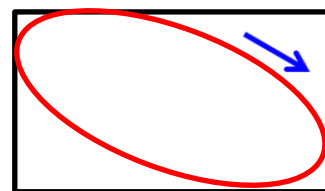
$\Delta\varphi = 0$   
(a)



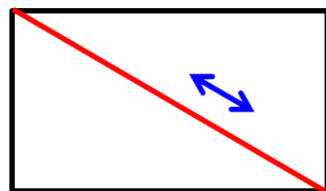
$0 < \Delta\varphi < \pi/2$   
(b)



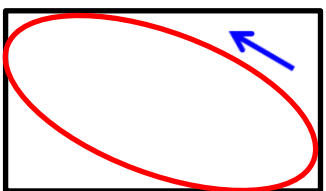
$\Delta\varphi = \pi/2$   
(c)



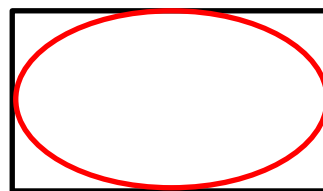
$\pi/2 < \Delta\varphi < \pi$   
(d)



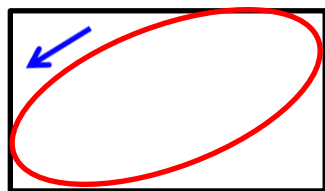
$\Delta\varphi = \pi$   
(e)



$\pi < \Delta\varphi < 3\pi/2$   
(f)



$\Delta\varphi = 3\pi/2$   
(g)



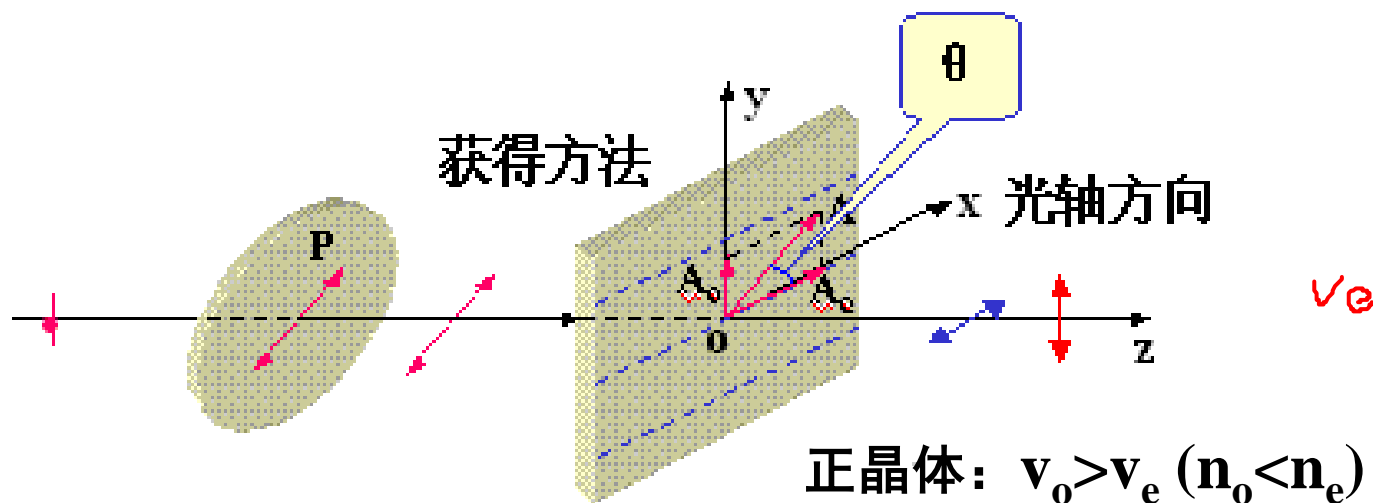
$3\pi/2 < \Delta\varphi < 2\pi$   
(h)

迎光传播方向观察： $\begin{cases} \text{合矢量顺时针旋转,} & \text{右旋偏振光} \\ \text{合矢量逆时针旋转,} & \text{左旋偏振光} \end{cases}$

## 二、自然光改造成椭圆偏振光或圆偏振光

### 1. 椭圆偏振器

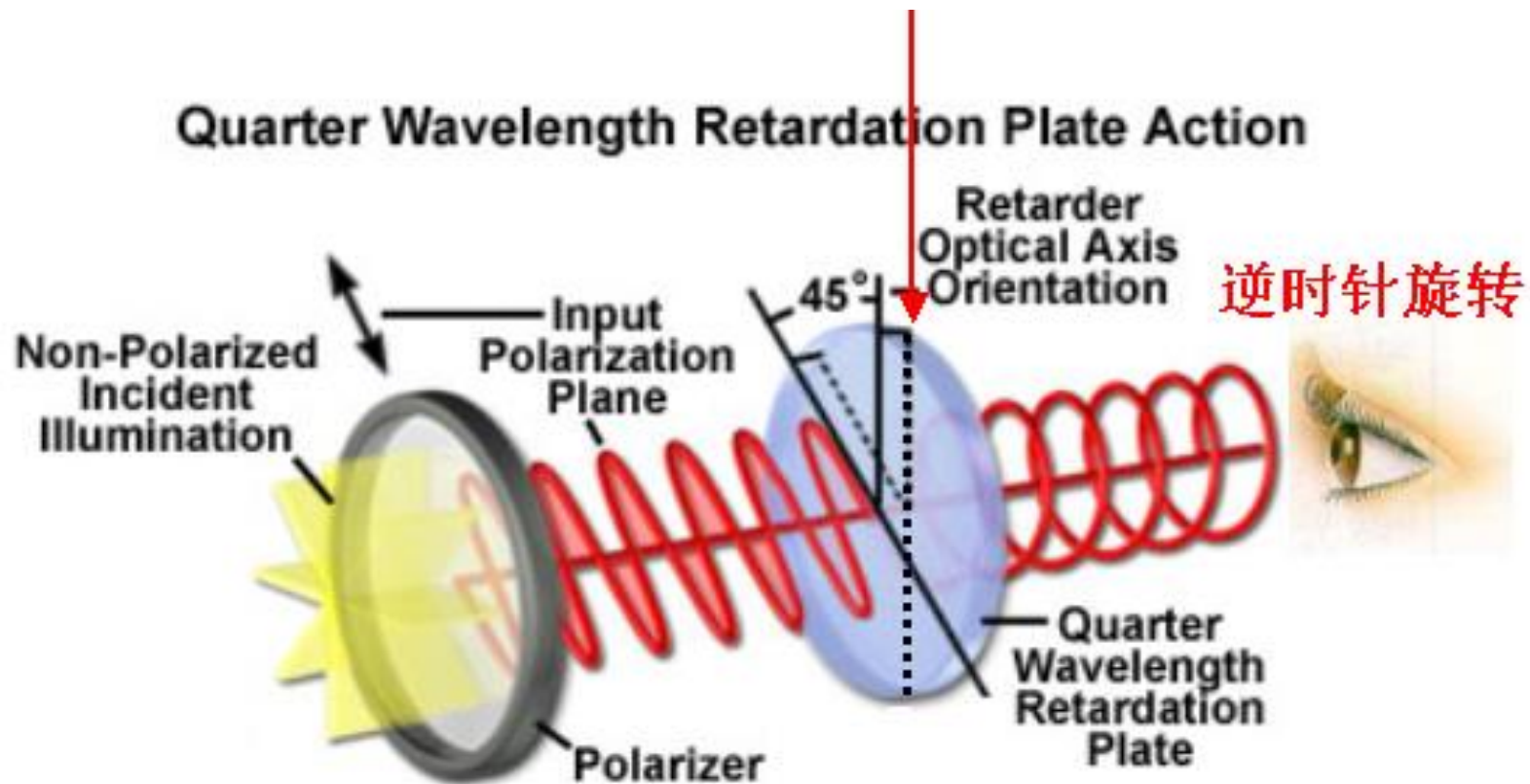
用起偏器获得线偏振光，垂直入射到波片上获得椭圆偏振光



### 2. 圆偏振器

用起偏器获得线偏振光，垂直入射到1/4波片且使入射线偏振光的振动方向与光轴成45°，获得圆偏振光

## Quarter Wavelength Retardation Plate Action

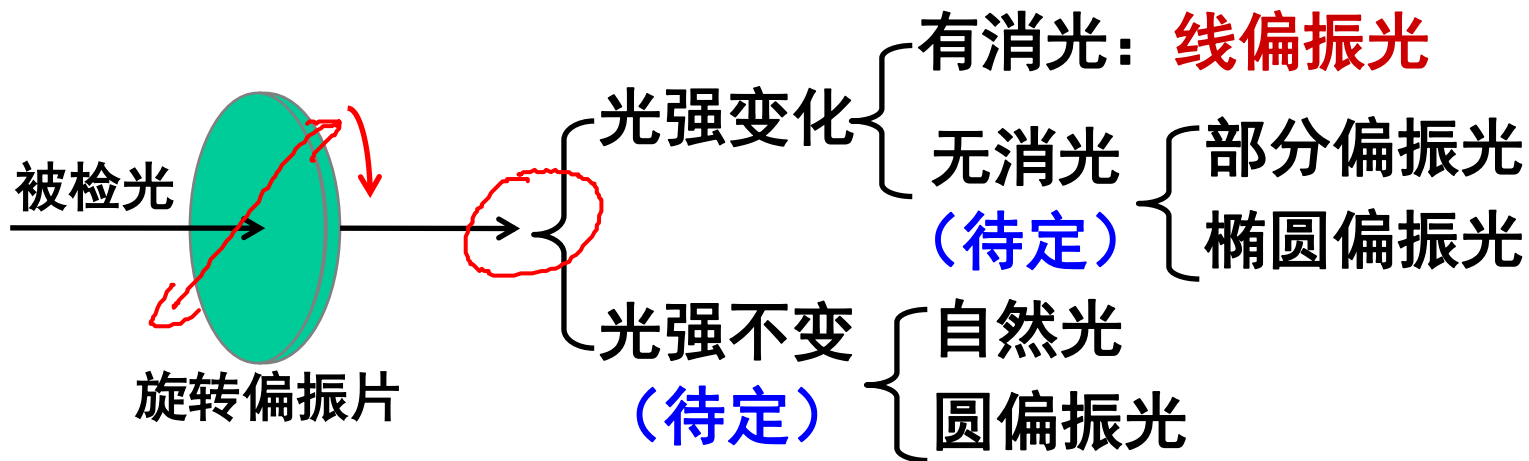


## § 3.8 偏振态的实验检验

### 一、平面偏振光的检验

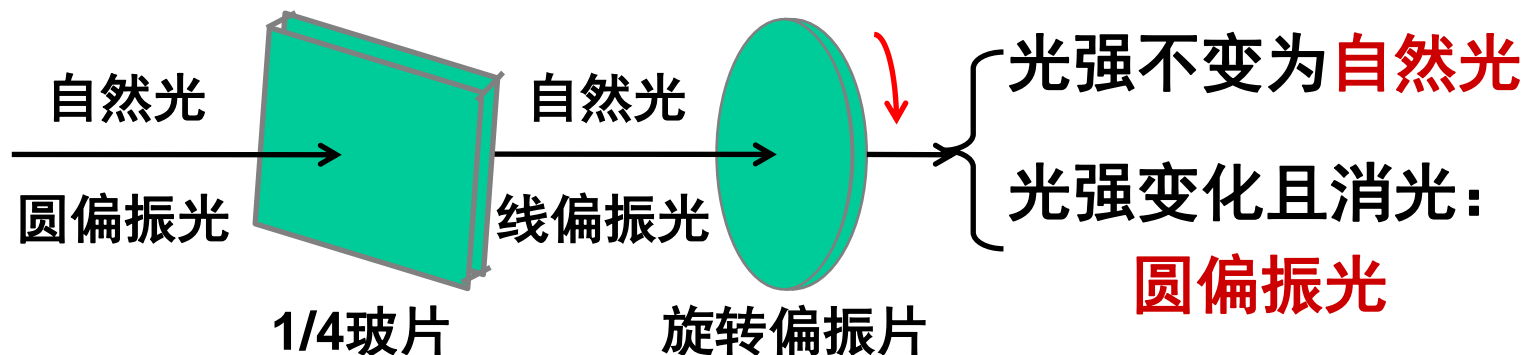
5种可能：自然光、部分偏振光、线偏振光、圆偏振光、椭圆偏振光

仅用一个检偏器，可**唯一**确定线偏振光

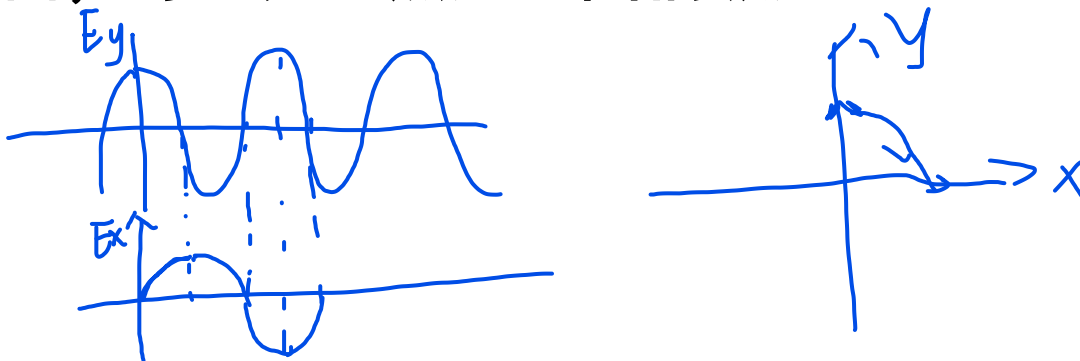




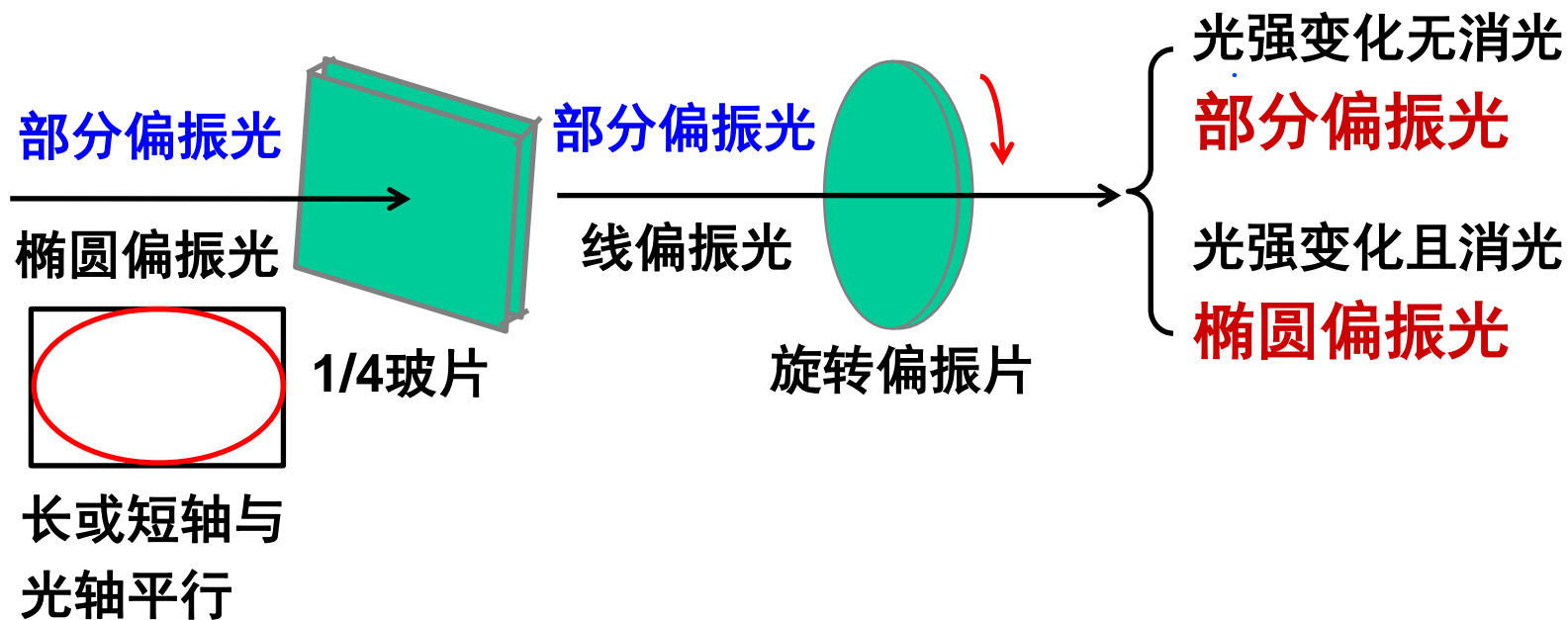
## 二、自然光和圆偏振光的检验



用1/4波片和检偏器，可区分自然光和圆偏振光



### 三、部分偏振光和椭圆（正椭圆）偏振光的检验

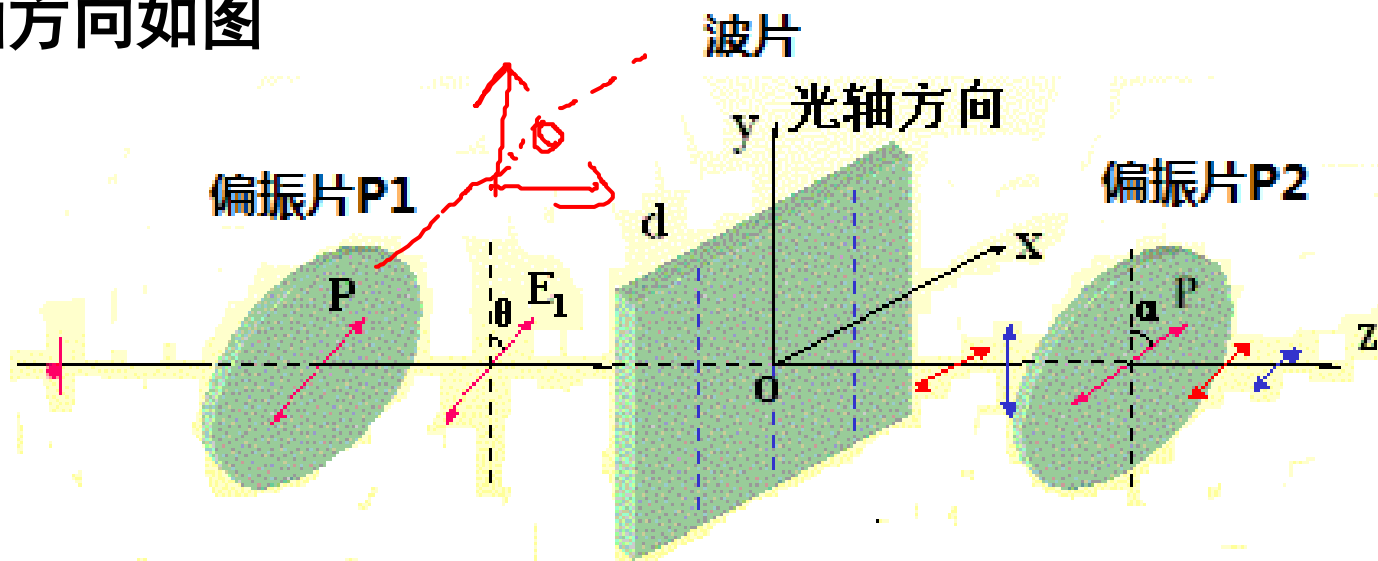


## § 3.9 偏振光（线偏振光）的干涉

条件：频率相同、振动方向相同、位相差恒定

### 一、偏振光干涉典型的实验装置

在两块共轴的偏振片P1和P2之间放一块厚度为 $d$ 的波片，光轴方向如图



**P1的作用：**获得线偏振光

**波片的作用：**将入射的线偏振光分解成两束相互垂直的有固定位相差的线偏振光

**P2的作用：**把两束线偏振光引到同一方向上来

## 二、线偏振光干涉的强度分布

设 $P_1$ 与 $y$ (波片光轴)的夹角为 $\theta$ ,  $P_2$ 与 $y$ 的夹角为 $\alpha$

◆ 由波片引起的位相差

$$\Delta\varphi = \frac{2\pi}{\lambda}(n_o - n_e)d$$

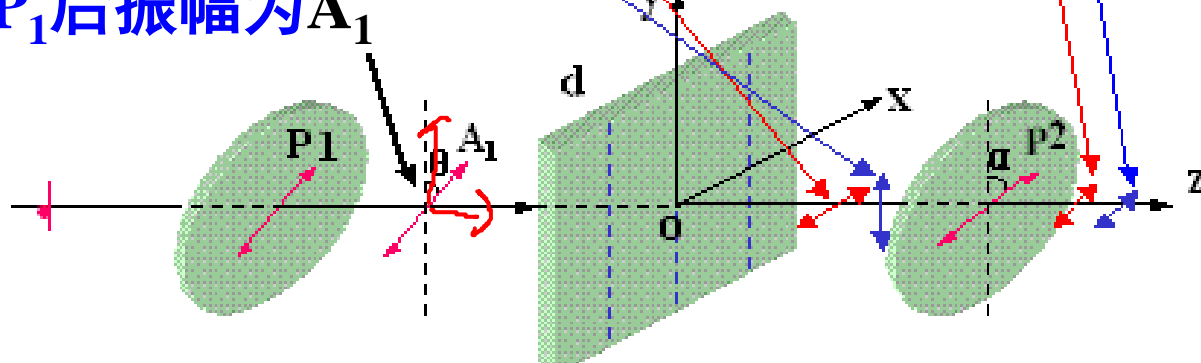
过 $P_2$ 后振幅为

$$\begin{cases} A_{2o} = A_o \sin \alpha = A_1 \sin \alpha \sin \theta \\ A_{2e} = A_e \cos \alpha = A_1 \cos \alpha \cos \theta \end{cases}$$

过波片后分为

$$\begin{cases} A_o = A_1 \sin \theta \\ A_e = A_1 \cos \theta \end{cases}$$

过 $P_1$ 后振幅为 $A_1$



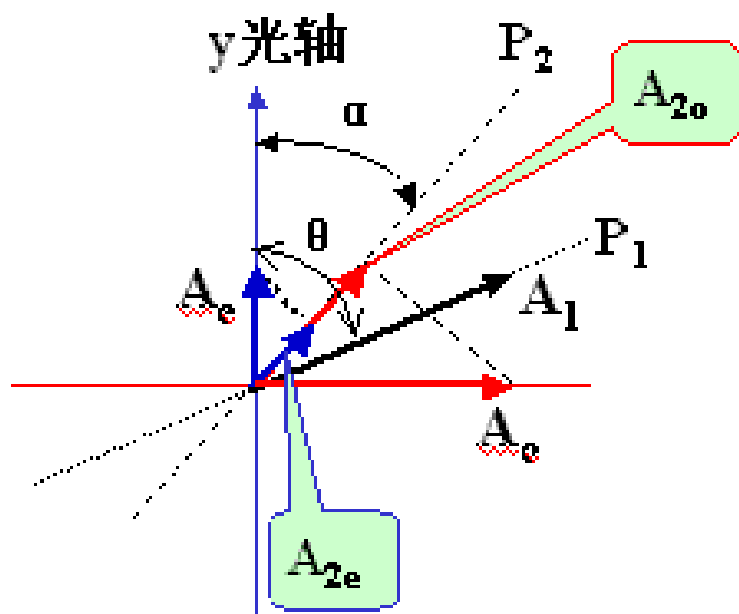
设两振动为相干的，位相差为  $\Delta\varphi'$ ，合振动强度为

$$I = A^2 = A_{2o}^2 + A_{2e}^2 + 2A_{2o}A_{2e}\cos\Delta\varphi'$$

$$= A_1^2 \left[ \cos^2(\alpha - \theta) - \sin 2\theta \sin 2\alpha \sin^2 \frac{\Delta\varphi'}{2} \right]$$

## 关于 $\Delta\varphi'$ 的讨论

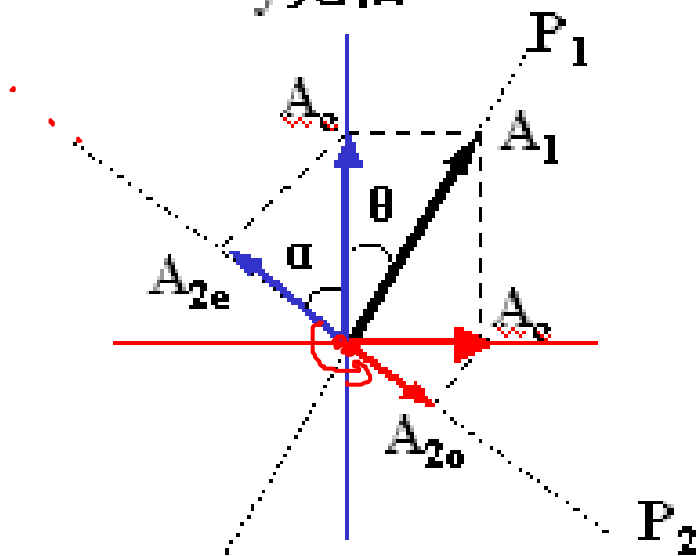
<1>  $P_1$ 和 $P_2$ 在同一象限



$$\Delta\varphi' = \Delta\varphi = \frac{2\pi}{\lambda} (n_o - n_e) d$$

$P_1$ 和 $P_2$ 在相同的象限内， $A_{2o}$ 和 $A_{2e}$ 方向相同，无附加光程差

y光轴



### 〈2〉 $P_1$ 和 $P_2$ 在不同象限

$$\Delta\varphi' = \frac{2\pi}{\lambda} (n_o - n_e) d + \pi$$

**$P_1$ 和 $P_2$ 在不同的象限内,  $A_{2o}$ 和 $A_{2e}$ 方向相反, 附加光程差为  $\pi$**

关于光强  $I_{\square}$  的讨论 ◆  $P_1$ 和 $P_2$ 的透振方向相互平行  $\alpha = \theta$

$$I_{\square} = A_1^2 \left[ 1 - \sin^2 2\theta \sin^2 \frac{\Delta\varphi}{2} \right] \quad \theta = 45^\circ$$

$$I_{\square} = A_1^2 [1 - \sin^2 \frac{\Delta\varphi}{2}] = \frac{A_1^2}{2} [1 + \cos\Delta\varphi]$$



◆  $P_1$ 和 $P_2$ 的透振方向相互垂直

$\theta - \alpha = \pi / 2$       **注意：**  $\theta$  取锐角,  $\alpha$  为负角

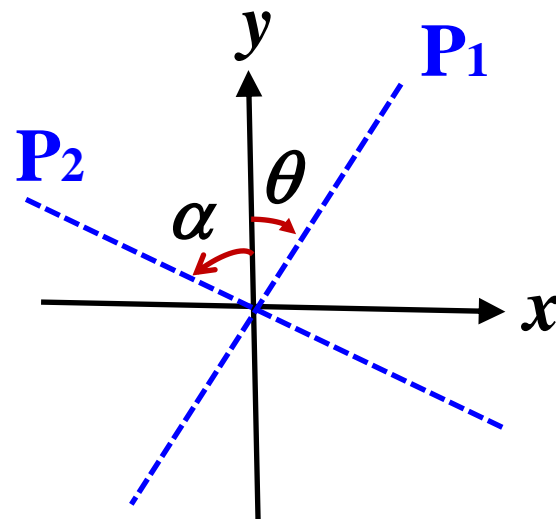
$$I_{\perp} = 2A_1^2 \cos^2 \theta \sin^2 \theta (1 + \cos \Delta \varphi') = A_1^2 \sin^2 2\theta \cos^2 \frac{\Delta \varphi'}{2}$$

↓  $\Delta \varphi = \Delta \varphi' + \pi$

$$I_{\perp} = A_1^2 \sin^2 2\theta \sin^2 \frac{\Delta \varphi}{2}$$

$\theta = 45^\circ$  →  $I_{\perp} = \frac{A_1^2}{2} [1 - \cos \Delta \varphi]$

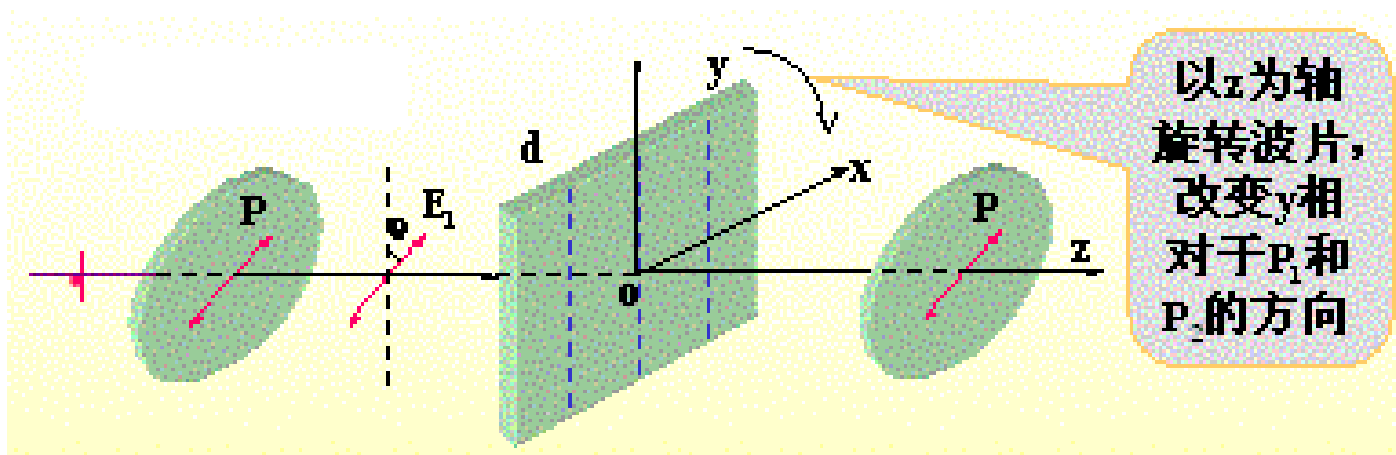
一般情况下  $I_{\parallel} + I_{\perp} = A_1^2 = \text{常数}$



◆  $P_1$ 和 $P_2$ 的透振方向相互平行

$$I_{\square} = A_1^2 \left[ 1 - \sin^2 2\theta \sin^2 \frac{\Delta\varphi}{2} \right]$$

用单色光照明



波片厚度 $d$ 确定,  $\Delta\varphi$  恒定 ( $n_o - n_e$ 变化很小)

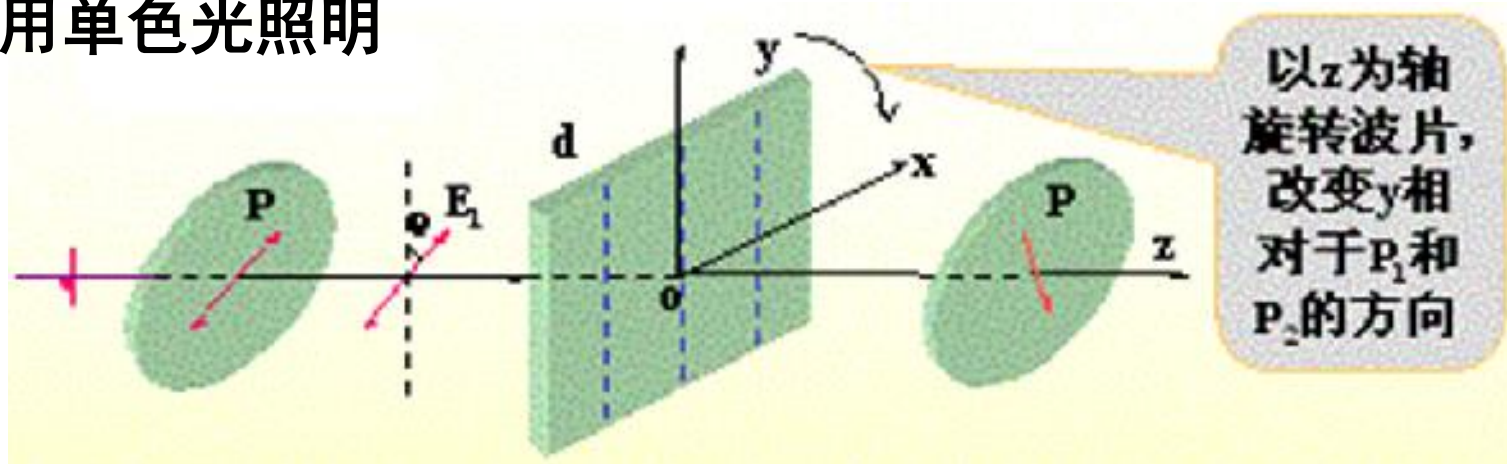
$$\text{极值条件} \begin{cases} \theta = 0, \frac{\pi}{2}, \pi, \frac{3\pi}{2} & I_{\square} \text{取极大值} \quad I_{\perp} \\ \theta = \frac{\pi}{4}, \frac{3\pi}{4}, \frac{5\pi}{4} & I_{\square} \text{取极小值} \quad I_{\perp} \end{cases}$$



◆  $P_1$ 和 $P_2$ 的透振方向相互垂直

$$I_{\perp} = A_1^2 \sin^2 2\theta \sin^2 \frac{\Delta\varphi}{2}$$

用单色光照明



波片厚度 $d$ 确定,  $\Delta\varphi$  恒定 ( $n_o - n_e$ 变化很小)

极值条件

$$\begin{cases} \theta = 0, \frac{\pi}{2}, \pi, \frac{3\pi}{2} & I_{\perp} = 0 \text{ 取极小值} \\ \theta = \frac{\pi}{4}, \frac{3\pi}{4}, \frac{5\pi}{4} & I_{\perp} \text{ 取极大值} \end{cases}$$

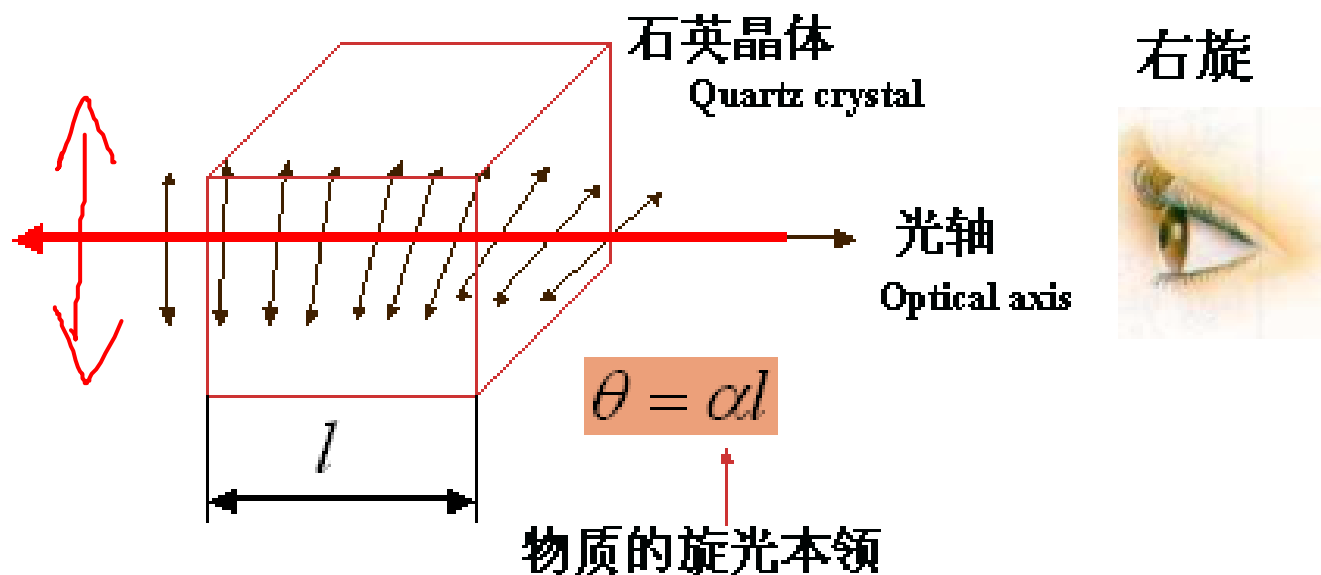
波片厚度 $d$ 确定, 用不同波长的光入射时, 透射光的强弱随波长的不同而改变。

$\varphi \propto d \cdot \lambda$

## § \*3.10 旋光效应 (P237 5.11)

### 一、旋光现象

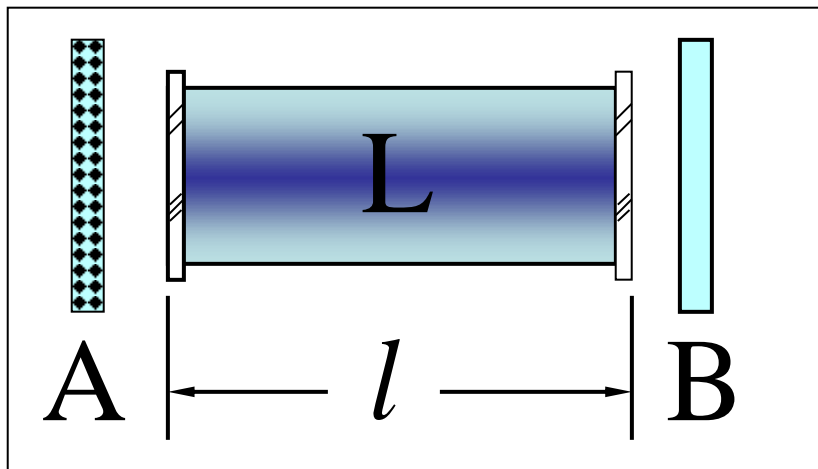
偏振光通过某些物质后，其振动面将以光的传播方向为轴线转过一定的角度。



◆ 旋光物质 能产生旋光现象的物质。（如石英晶体、糖溶液、酒石酸溶液等）

$$\frac{1}{2} \quad \vdots \quad \alpha \rightarrow 2\alpha$$

◆ 旋光仪 观察偏振光振动面旋转的仪器.



A：起偏器，

B：检偏器，

L：盛有液体旋光物质的管子.

设  $\Delta\psi$  为偏振光通过旋光物质后振动面所转过的角度

◆ 对于旋光性物质的溶液  $\Delta\psi = \alpha l \rho$  ( $\lambda$  一定)

$\rho$  为旋光物质的浓度       $l$  为旋光物质的透光长度

$\alpha$  为一与旋光物质有关的常量

◆ 对于固体旋光物质  $\Delta\psi = \alpha l$

$\alpha$  为一与旋光物质及入射光的波长有关的有关的常量

◆ **磁致旋光效应** 外加磁感强度为  $B$  的磁场, 使某些不具旋光性的物质产生旋光现象.

$$\Delta\psi = V l B$$

$V$  叫韦尔代常量

## 二、旋光物质的分类

**1) 右旋物质** 面对着光源观察, 使光振动面的旋转为顺时针的旋光物质. (如葡萄糖溶液)

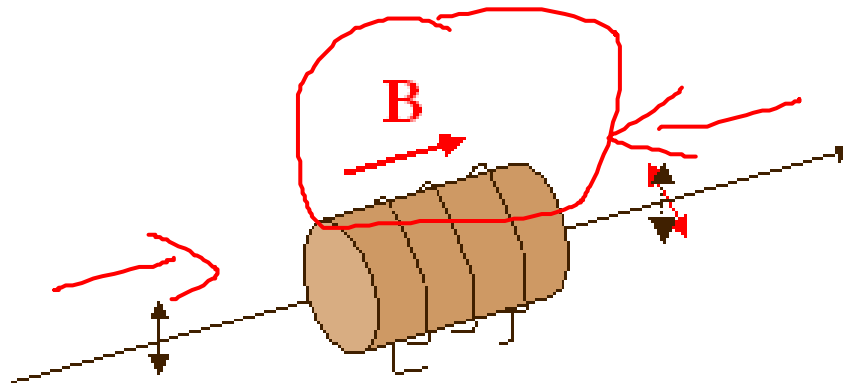
**2) 左旋物质** 面对着光源观察, 使光振动面的旋转为逆时针的旋光物质. (如蔗糖溶液)

### 三、磁致旋光效应

**磁光效应**：在强磁场的作用下，物质的光学性质发生变化。

**磁致旋光效应（法拉第效应Faraday effect）**：

在强磁场的作用下，本来不具有旋光效应的物质产生了旋光性质。



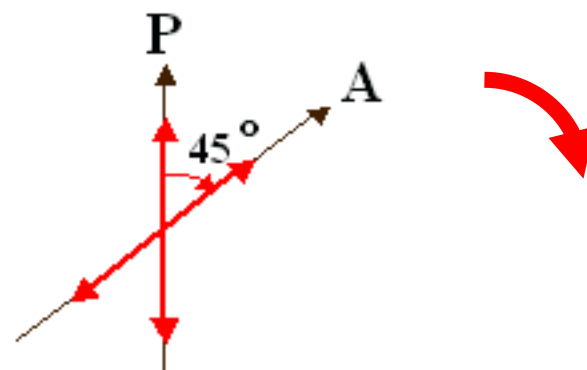
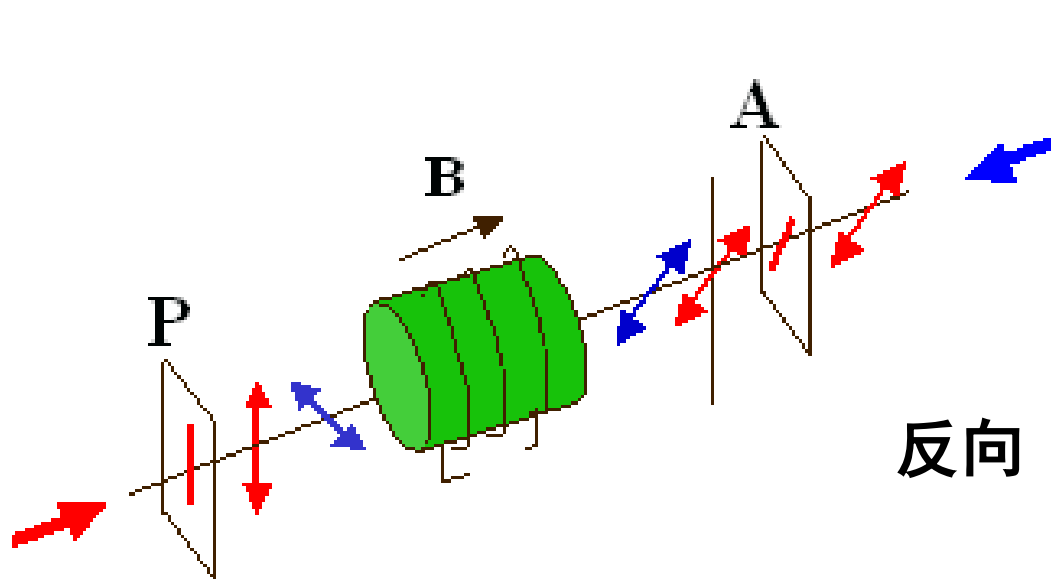
法拉第效应：转角  $\theta = VBl$

旋光方向与光传播方向无关，只与磁场方向有关。

## □ 磁光效应应用（在光通信领域中的应用）

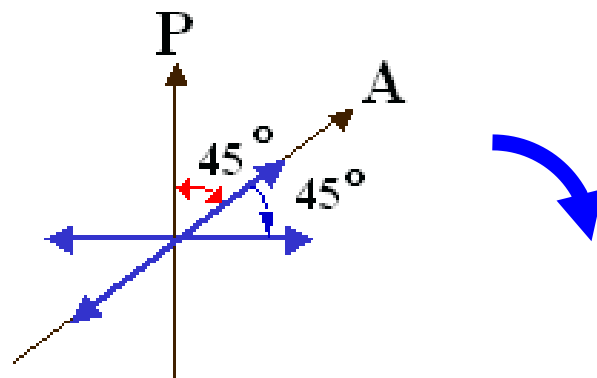
单通光闸

正向（Positive direction）通



反向（Reverse direction）不通

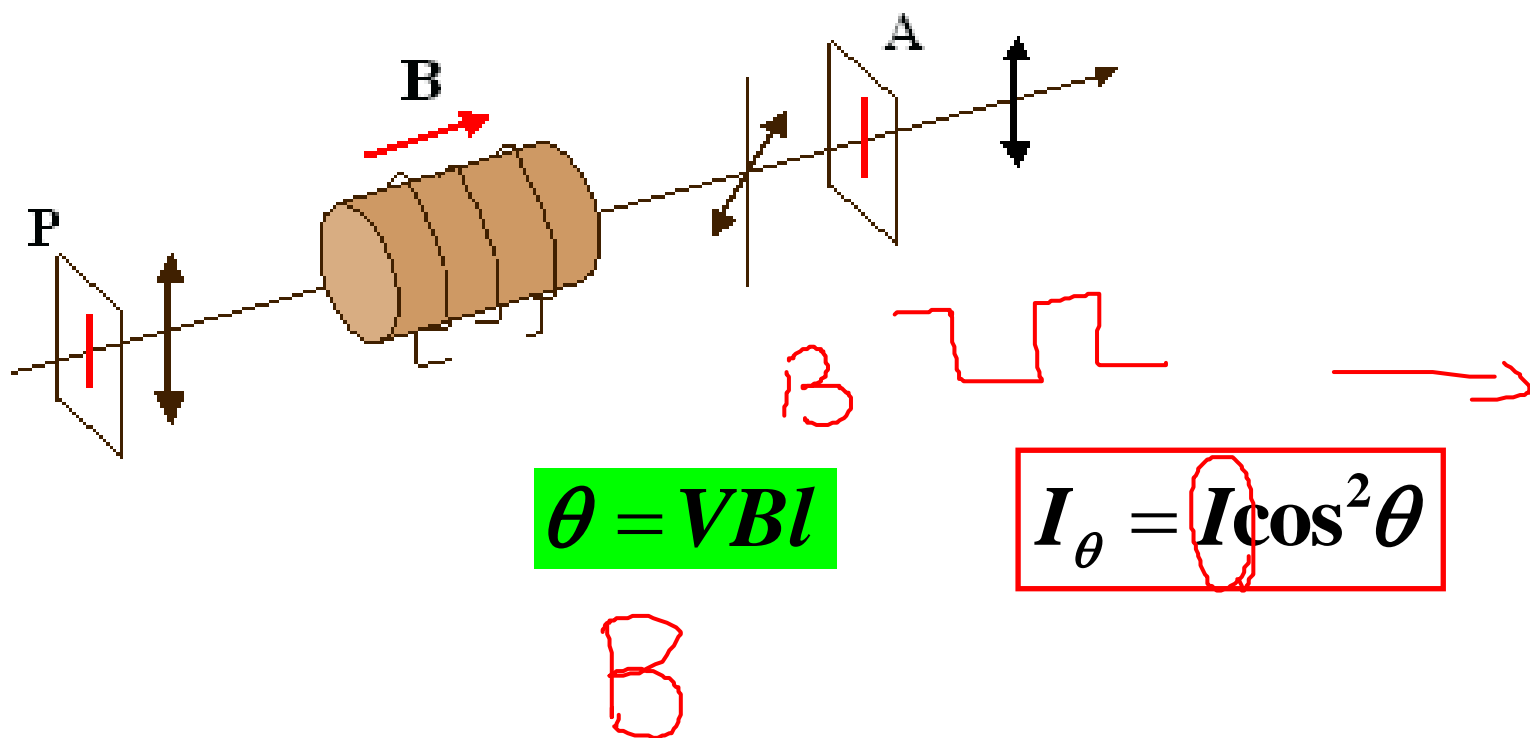
$$\theta = VBl = 45^\circ$$



## □ 磁光调制

◆ 系统组成

◆ 工作原理

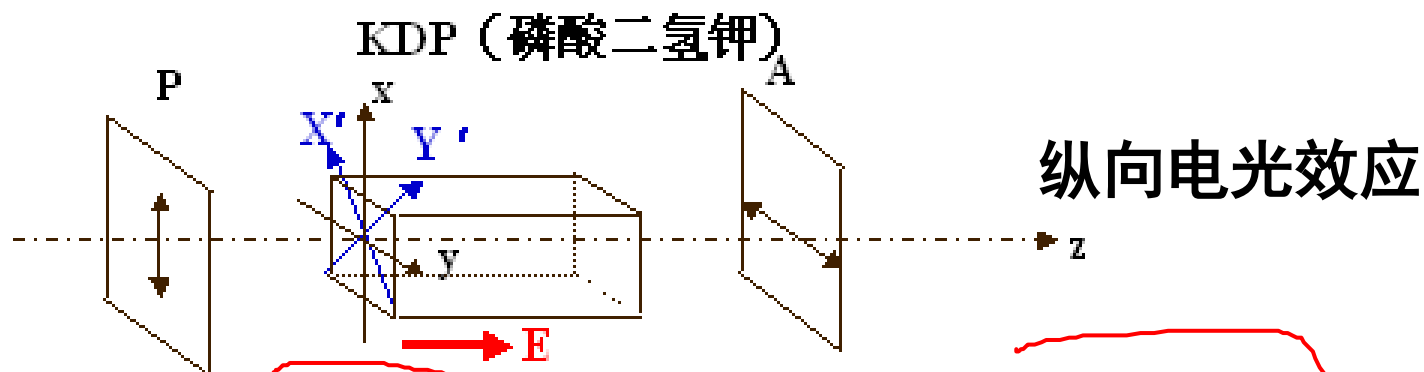


## □ 磁光传感

## \* 电光效应(Electro-optical Effect)

在外界强电场的作用下，某些本来是各向同性的介质会产生双折射现象，而本来具有双折射现象的晶体，其双折射性质也会发生变化。

### 1、泡克耳斯效应（Pockels effect）一阶电光效应



$$n' = n_o + \frac{1}{2} n_o^3 \gamma E$$

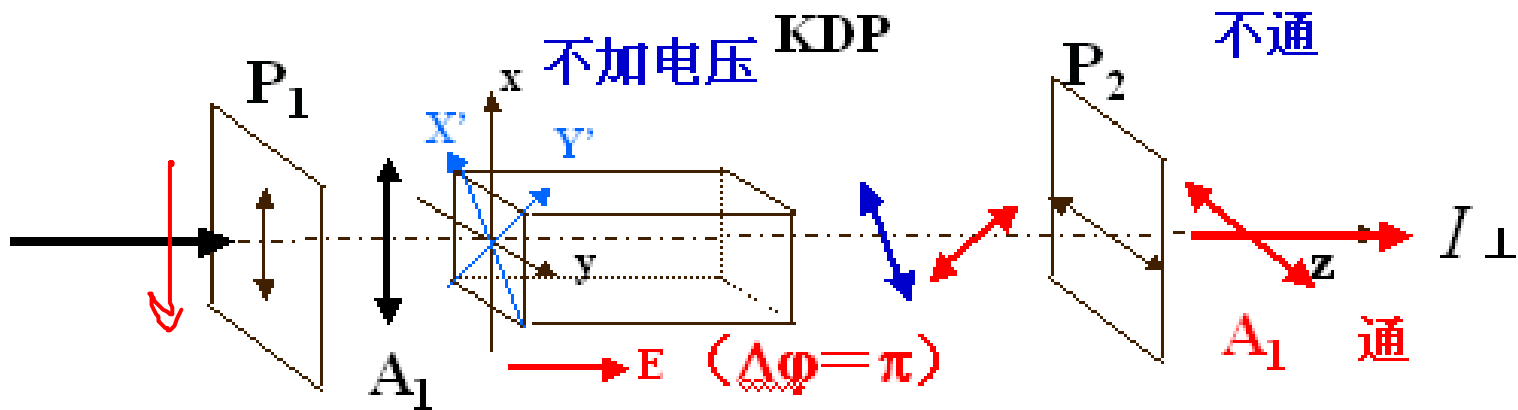
$$n'' = n_o - \frac{1}{2} n_o^3 \gamma E$$

$$\text{感生折射率差: } n' - n'' = n_o^3 \gamma E$$

$$\frac{2\pi d}{\lambda}$$

$$K d \cdot \Delta n$$





感生折射率差:  $n' - n'' = n_o^3 \gamma E$

相位差:  $\Delta\varphi = \frac{2\pi}{\lambda} (n' - n'')l = \frac{2\pi}{\lambda} n_o^3 \gamma El$

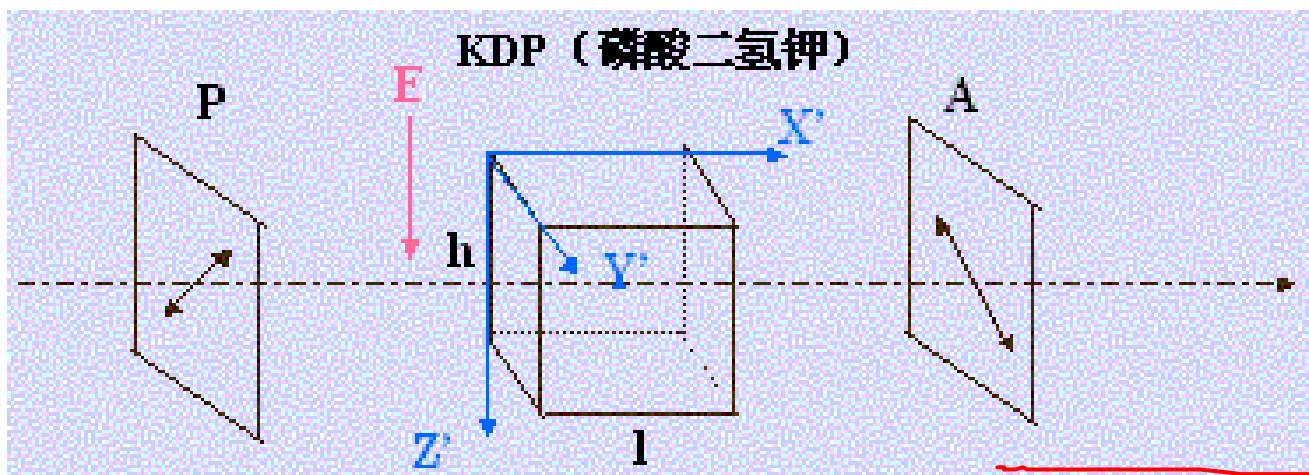
$$I_{\perp} = A_1^2 \sin^2 2\theta \sin^2 \frac{\Delta\varphi}{2} \quad \xrightarrow{\theta = 45^\circ}$$

出射光强:  $I_{\perp} = A_1^2 \sin^2 \frac{\Delta\varphi}{2}$



感生折射率差:  $n' - n'' = n_o^3 \gamma E$

$E^2$

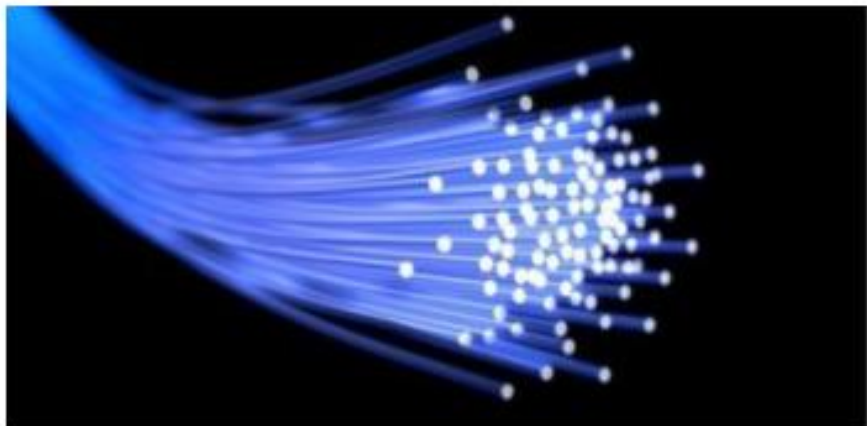


实验装置二：横向电光效应  
(垂直光的传播方向)

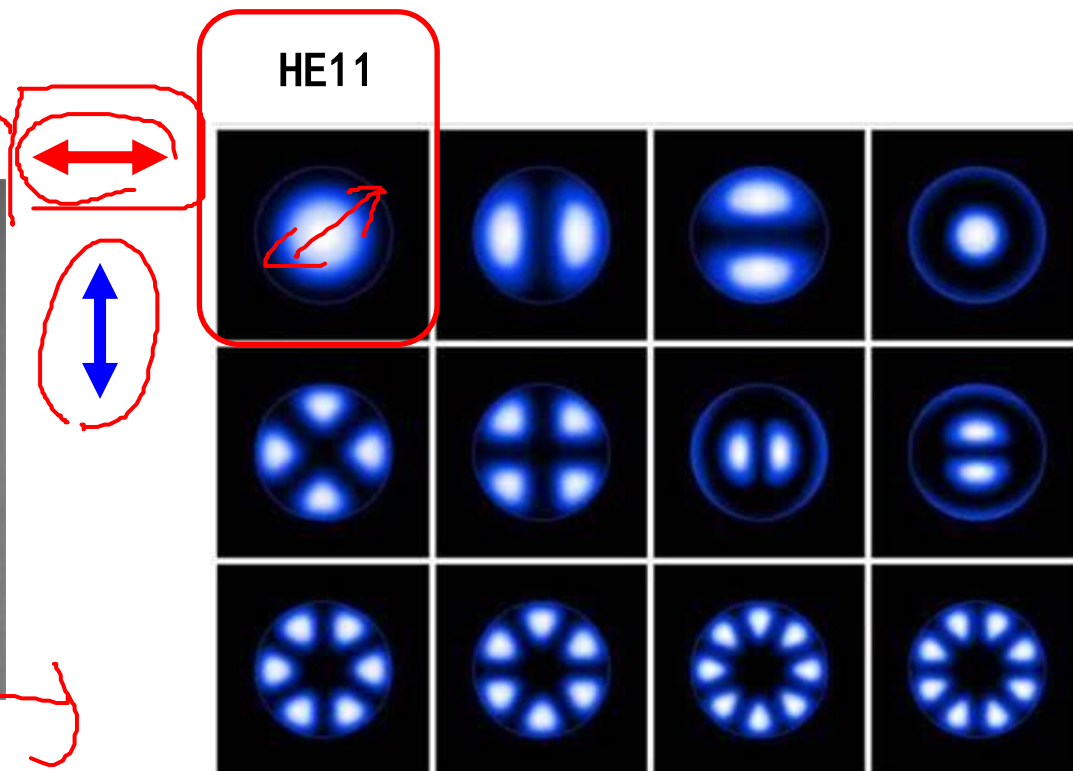
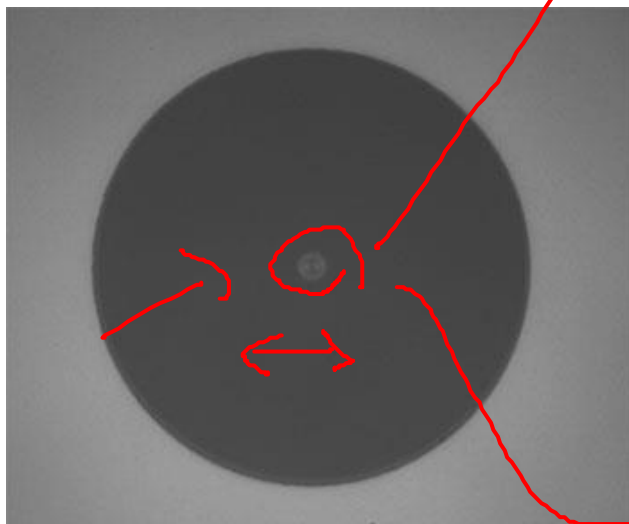
出射光强: 
$$I = I_0 \sin^2 \frac{\delta}{2} = I_0 \sin^2 \left( \frac{\pi}{\lambda} n_o^3 \gamma' \frac{l}{h} V \right)$$

$r'$

2、克尔效应 (Kerr effect) 二阶电光效应 P233-234

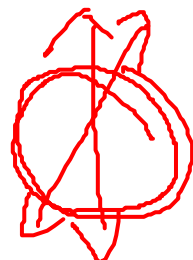
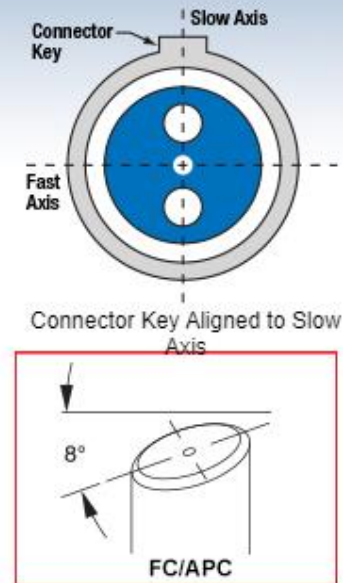


单模光纤横截面



## 保偏光纤跳线，FC/APC接头

- ▶ Polarization-Maintaining Fiber with FC/APC Connectors on Both Ends
- ▶ Available in Wavelength Ranges between 350 - 2200 nm
- ▶ Custom Connector and Length Options Available



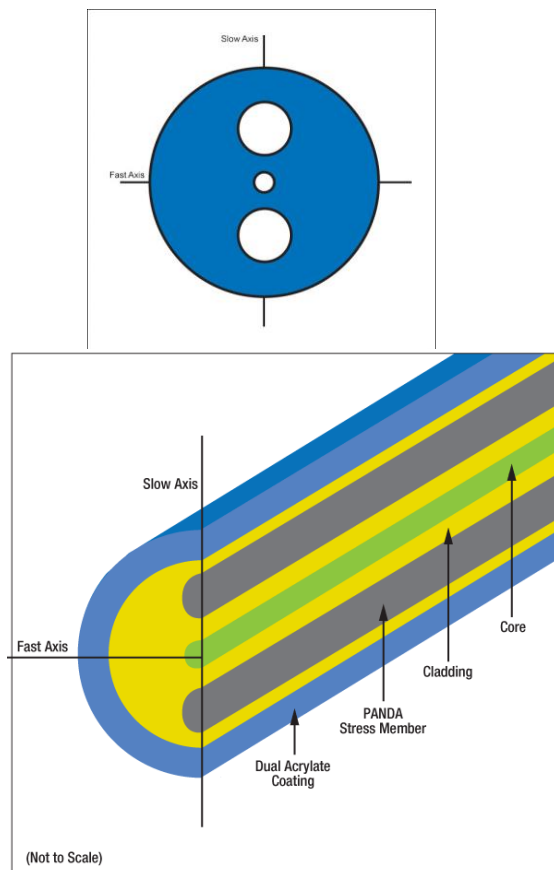
产生双折射现象的原因主要是无法满足折射率绝对圆对称的条件。

这通常是由光纤的截面不是理想的圆(几何双折射)或者光纤内部不平衡压力(应力双折射)造成的。这时，HE11模在不同的偏振方向将具有不同的传播速度。因此，HE11模的两种相互垂直的偏振模式将不再以同一速度传播。双折射现象在常规光纤中还不明显，但是在保偏光纤(为了保持光线的偏振状态)中就很明显了。由于两种偏振具有不同的传播特性，偏振状态才得以保留。这样就有效地防止了两种偏振模式在传播过程中的能量耦合。

在制造保偏光纤的过程中我们故意使光纤呈现出不对称性。比如椭圆纤芯光纤(长轴和短轴上的等效折射率不同)和包含不对称压力产生部件的光纤。蝴蝶结领结形状的阴影区掺入了大量的杂质元素(如硼)。由于掺入元素的热膨胀系数和包层硅的热膨胀系数大不一样，将在纤芯上产生一个非对称的压力。

这样使得单模光纤的两个垂直偏振状态之间无法耦合，从而产生了应力双折射。

## 保偏色散补偿光纤，熊猫型， 1510 - 1620 nm



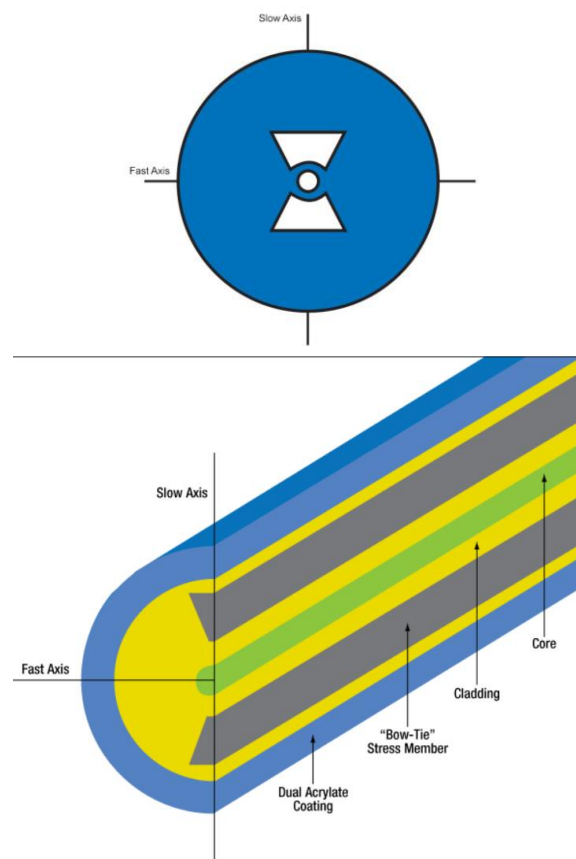
### 特性

- 1550 nm下色散-100  $\pm$  10 ps/(nm•km)
- 1550 nm下色散斜率-0.34 ps/(nm<sup>2</sup>•km)
- 色散和色散斜率匹配标准的1550 nm PM光纤
- 经过优化适合慢轴光传播

### 应用

- 脉冲展宽或脉冲压缩光纤
- 光学计时分配系统
- 通信

## 保偏光纤，领结型， 980 - 1550 nm



### 特性

- 波长范围从980至1500 nm
- 领结式应力

### 应用

- 常用于传感器应用。
- EDFA激光器的偏振复用和激光尾纤。

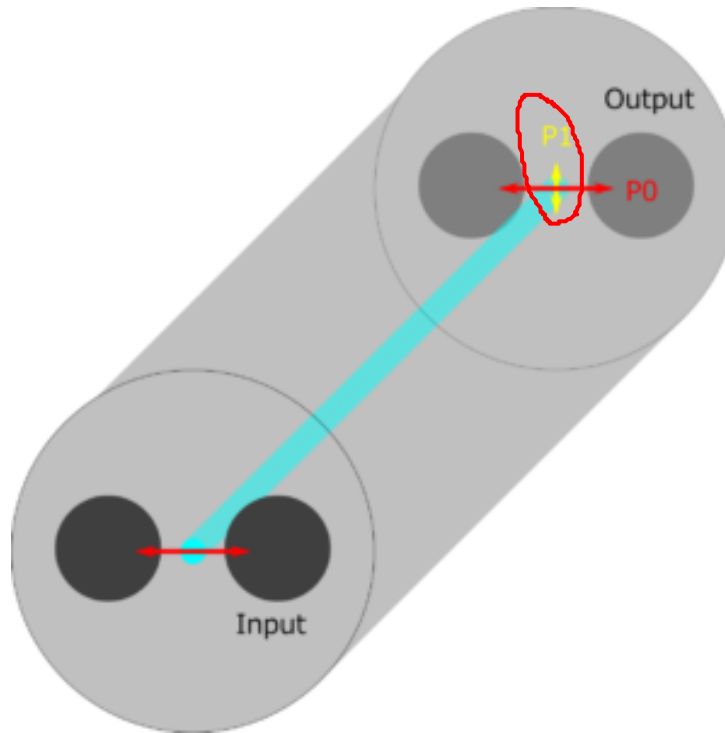
# 串扰与消光比

消光比

Extinction ratio:  
~ 20 dB



$$\frac{1}{100} = 1\%$$



Schematic of polarization crosstalk measurement.

## 保偏光纤偏振合束/分束器

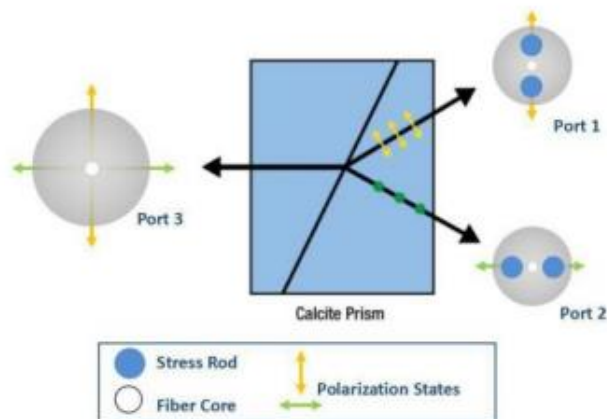
光纤偏振光束合束器(PBC)或偏振光束分束器(PBS)用于将两束正交偏振光耦合入一根光纤中，或将一根光纤中含有的正交线偏振光分别耦合到两个保偏光纤中，且偏振方向平行于保偏光纤的慢轴。双纤端(Port1 和 Port2)为保偏光纤；单纤端(Port 3) 为普通单模光纤,也可为保偏光纤

### 特性

- 高消光比
- 低插入损耗
- 高稳定性

### 应用

- 偏振复用/解复用器
- 高功率 EDFA
- 光纤传感
- 光传输



## 方解石



## ➤第3章 小结：

§ 3.1 自然光与偏振光（了解）

§ 3.2 线偏振光与部分偏振光（了解）

§ 3.3 光通过单轴晶体时的双折射现象（掌握）

§ 3.4 光在晶体中的波面（掌握）

§ 3.5 光在晶体中的传播方向（掌握）

§ 3.6 偏振器件（掌握）

§ 3.7 椭圆偏振光和圆偏振光（掌握）

§ 3.8 偏振态的实验检验（掌握）

§ 3.9 偏振光的干涉（掌握）

§ 3.10 旋光效应和磁光效应（了解）

## 第3章作业(P267)

5-13, 5-15, 5-16, 5-17, 5-18, 5-25, 5-26, 5-27